逆流防止操作が必要となるタイミングの前後における支川合流部の水門付近の流向・流速分布

- 安田吾郎 Goro YASUDA
- 白川祐樹
- 髙良圭
- 鴨志田穂高
- 清水康行
 - 坂口誠



IHI

筑後川河川事務所

Yuki SHIRAKAWA

Kei KORA

Hodaka KAMOSHIDA

Yasuvuki SHIMIZU

Makoto SAKAGUCHI



6. まとめと今後へ向けた課題

①新桂川水門付近では、逆流発生前後において、水門断面上の位置 により流向が異なり、1点での観測では適切に流向を判断することが できないことが確認された。

②このため、今後、遠隔でも断面全体での流向・流速を実用的レベル で把握できるようにするためのセンサー類の効果的な選定や配置等 に関する検討が重要。

- ③流速が小さい状況下での流向把握には風の影響の考慮も重要。
- ④今回はiRIC CABERNET2Dを用いた二次元の水理計算を行った が、本支川合流部での水の挙動は三次元性も強いと考えられ、三次 元での検討にも取り組む予定。
- ⑤合流点の形状や本支川の流況等に応じて、今回得られた成果がど の程度の汎用性を持つのか等についての検討にも取り組む予定。
- ⑥GPS浮子を用いた観測は,水理シミュレーション結果の検証に効果 的。しかし、昨年夏に観測体制を整えて以降に大きな洪水がなく、 もっと大きな洪水の際のデータを得ることが課題。

■ 水門の閉扉操作を行った2洪水を含む近年の4洪水を対象

豪雨名称	平成24年7月	平成29年7月	令和2年7月	令和5年7月
	九州北部豪雨	九州北部豪雨	豪雨	大雨
解析対象	2012年	2017年	2020年	2023年
期間	7月13~15日	7月5~6日	7月6~8日	7月9~10日
新桂川水門 操作の有無	全閉操作あり	全閉操作なし	断続開閉操 作?	全閉操作なし

逆流防止のため、全 閉操作を実施

記録上は全閉しているが, 完全な閉扉 までは行わなかったとの証言あり

2. 研究対象個所と計算モデル設定

■ 筑後川と支川・桂川の合流部にある新桂川水門付近が対象





■ 水門付近の密度が高くなるように計算格子を設定



【移流項の差分方式】 CIP法 【計算ステップ】

0.125秒

【乱流モデル】 ゼロ方程式モデル 渦動粘性係数 v_{t} は 0.15

- 河川部の粗度係数は、河川管理者が評価していた一次元計算用の お財産係数をベースに、H29洪水の流況を用いて二次元計算用に調整
- ソルバーには、iRICグループで開発中のCabernet2Dを使用

Cabernet2Dの特徴

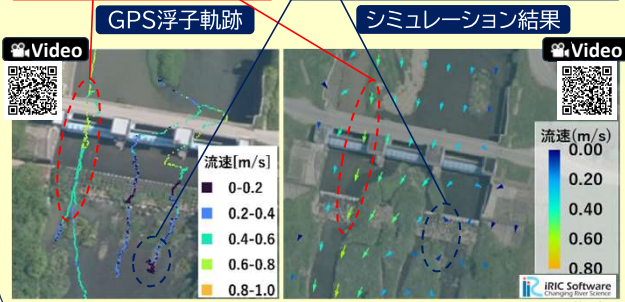
iRIC Software

非定常平面2次元流れ・河床変動計算+ 分合流点・氾濫域を含む河道解析機能あり

- 2024年11月2日にGPS浮子を用いた流向・流速観測を実施
- そのときの流況で水理シミュレーションを行った結果と比べて. 傾向 の一致をみた。

右岸寄りに主流線が集まる

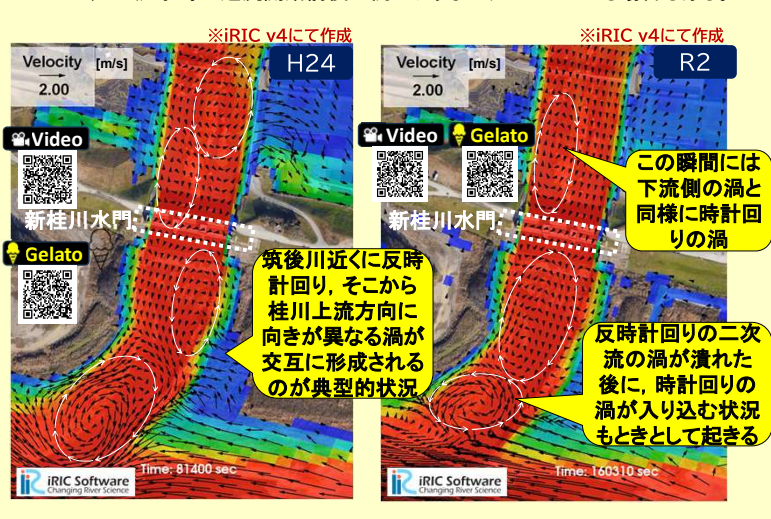
左岸寄りに流れの停滞が見られる



※iRIC v4にて作成

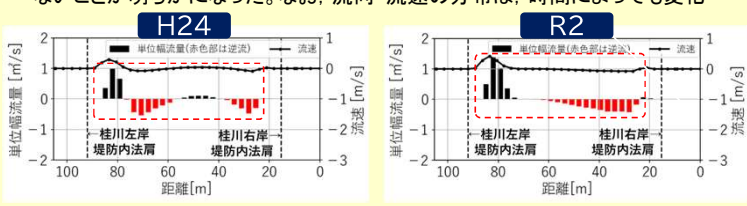
4. シミュレーション結果

- 下のH24洪水時の逆流開始前後の例のように、 筑後川本川の二次流による反 時計回りの渦、そして桂川上流に向かって交互の向きの渦が形成されるのが 1つの典型パターン。
- しかし、R2洪水時の逆流開始前後の例のようなパターンが生じる場合もある。

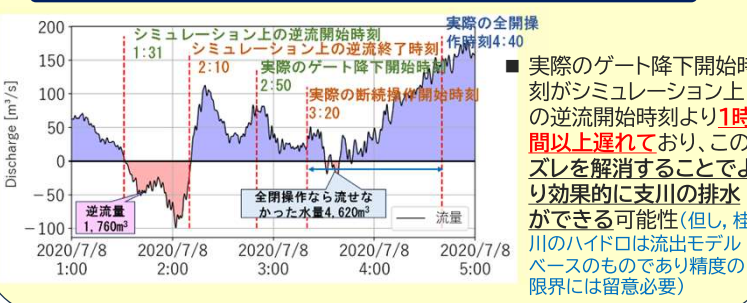


水門断面での逆流開始前後10分平均での単位幅流量と流速

■ 断面内でも場所により流向・流速は異なり、1か所での観測では全体を判断でき ないことが明らかになった。なお、流向・流速の分布は、時間によっても変化



水門操作タイミングの改善の可能性を確認



■ 実際のゲート降下開始時 刻がシミュレーション上 の逆流開始時刻より1時 間以上遅れており、この ズレを解消することでよ り効果的に支川の排水 ができる可能性(但し, 桂 川のハイドロは流出モデル